

Table 2

Gene	control	OPLL	Ratio	up比	down比	Genbank
BMP1 ; procollagen C proteinase 2 (PCP2)	1259	1098	0.87		1.1	M22488 ; U50330
BMP2A	344	462	1.34	1.3		M22489
BMP5	123	173	1.41	weak		M60314
BMP7 ; osteogenic protein 1 (OP1)	57	66	1.15	ND		M60316
BMP8 ; OP2	572	482	0.84		1.2	M97016
VEGFB	42	64	1.52	ND		U48801
FGF3	48	64	1.33	ND		X14445
FGF6	88	101	1.15	ND		X63454
FGF9	238	195	0.82		weak	D14838
bone-derived growth factor 1 (BPGF1)	176	87	0.5		weak	L42379
PDGFb	196	178	0.91		weak	X02811
CSF2 ; GM-CSF	56	44	0.77		ND	M11220
CSF3 ; G-CSF	194	320	1.64	UP		X03438
platelet-activating factor receptor (PAFR)	562	434	0.77		1.3	M54995 ; M38441
B-cell growth factor 1 (BCGF1)	73	68	0.93		ND	M15530
TGF-alpha	530	485	0.92		1.1	K03222
TGF-beta	83	122	1.47	ND		X02812 ; J05114
TGF-beta 2	171	203	1.18	weak		M19154 ; M22045
TGF-beta receptor type 1 ; ALK5	2872	2960	1.03	1.0		L11695
TGF beta receptor III	590	633	1.07	1.1		L07594
serine/threonine-protein kinase receptor R3 (SKR3) ; TGF-beta superfamily receptor type I (TSR1)	44	35	0.78		ND	L17075
breast cancer type 2 susceptibility protein (BRCA2)	172	118	0.69		weak	U43746
BRCA1-associated ring domain protein 1 (BARD1)	183	124	0.68		weak	U76638
sonic hedgehog (Shh)	533	468	0.88		1.1	L38518
estrogen regulated protein	750	599	0.80		1.3	X54079

Table 2 には、これまで骨形成関連因子として報告されている BMP-2, TGF-beta, FGF, Shhなどの遺伝子の結果を示した。これらでは顕著な発現差を認めなかつた。

本研究は、手術検体を用いたものであり、サンプルの品質の問題があったのかもしれないが、これまでの研究を裏付けるようなデータは得られなかつた。今後は、本研究で発現差が顕著に得られた遺伝子の特徴をさらに調べること、できるだけ多くの検体を集め、既存の骨形成関連遺伝子や今回発現差が認められた遺伝子について DNA アレイによる研究をすすめたいと考えている。

E. 結論

OPLL 手術検体を用いて DNA アレイによる遺伝子の検出、および正常韌帯との比較による発現遺伝子解析を行ったが、骨形成に関連する遺伝子をはつきりと特定できることは出来なかつた。

F. 研究発表

とくに無し

G. 知的所有権の取得状況

とくに無し

脊柱靭帯骨化症におけるプロテオーム解析

永田 見生（久留米大学医学部整形外科），津留美智代（久留米大学医学部整形外科），
安藤 則行（久留米大学医学部整形外科），佐藤 公昭（久留米大学医学部整形外科）

【研究要旨】

ヒトゲノムの全塩基配列の解読が完了し，“遺伝子の一次構造の解析”の時代から“遺伝子の機能解析をめざす”ポストゲノムの時代へ移行しようとしている。我々は、プロテオーム解析による、後縦靭帯骨化症のIn silicoの研究を目指している。21世紀の医療は、病態に「何が起こりうるか」の可能性の予測から、「何が実際に起こっているか」の研究とその特異性を「集団から個」（パーソナライズド・メディスン）及び、個人差の解析ファーマコジェネティクスの研究が必須となることが予想される。我々が実際に行っているプロテオーム解析による後縦靭帯骨化症のディファレンシャル・ディスプレイの研究について述べる。また、プロテオーム研究は創薬に結びつく、非常に価値ある研究であるが、反面サンプルの取り扱いが重要になる。現段階では久留米大学医学部倫理委員会の承認を得、インフォームドコンセント後、組織を頂き、研究を行っているが、いずれFDAに対応できるシステムを構築中である。

後縦靭帯骨化組織と正常組織（病理解剖例）の収集をし、二次元電気泳動法（2-DE）を行った。まず等電点（pI）により分離し、次にドデシル硫酸ナトリウム・ポリアクリルアミドゲル電気泳動（SDS-PAGE）により分子量（mass）でわけた。パターンの比較からの特異的スポットを切出し、ペプチド・マッピング法を行った。LC/MS/MSによりペプチドの配列と質量数を決め、同定を行った。現在、このタンパク質のバリデーションを、後縦靭帯骨化症のシグナル伝達上のアイソフォームを特定中である。プロテオミクスからゲノミクスのこの過程で治療のパスウェイや、後縦靭帯骨化症のプロセスでこのタンパク質がどう変わったかを知ることができる。プロテオーム解析は、疾病の発現に関わるタンパク質群の体系的な解析を可能とし、創薬ターゲットの同定、バリデーションから薬物の作用モード解析、さらに急性・慢性期毒性のマークーの同定など適用範囲が広がりつつある。我々は、これらの技術から、患者・社会にとって『価値』ある薬・医薬を提供できるような研究を行う必要があると考える。

Proteome Analysis of Ossification of the Posterior Longitudinal Ligament (OPLL).

Kensei Nagata ,Michiyo Tsuru ,Noriyuki Ando and Kimiaki Sato.

Department of Orthopaedic Surgery, Kurume University School of Medicine.

Email: michiyo@med.kurume-u.ac.jp

Department of Orthopaedic Surgery, Kurume University School of Medicine, 67 Asahi-machi,
Kurume 830-0011, JAPAN

Introduction

In 1960, Tsukimoto reported an autopsy case with cervical myelopathy caused by ossification of the posterior longitudinal ligament (OPLL). Since his report, OPLL has been widely recognized in recent years. In particular, OPLL is frequently observed among Asians. However, the pathogenesis of ossification of spinal ligaments is not yet well known. Therefore, the Investigation committee on OPLL was organized in 1975 by the Japanese Ministry of Health and Welfare¹⁾, to clarify the etiology,

epidemiology, and pathogenesis of OPLL. We have studied the etiology of OPLL using proteome analysis as the member of Research Committee. Proteome analysis facilitates systemic analysis of proteins involved in the development of diseases, and may be useful for galenical research. Proteomics has undergone a dramatic shift from an essentially 2D gel electrophoresis based technique to a broad field concerned with assigning function to large number of proteins². In proteome analysis, it is necessary to separate proteins as a first step prior to characterization. Thus, the overall performance of the analysis strongly depends on the performance of the separation tool, usually two-dimensional electrophoresis (2-DE). While IPGs have considerably improved IEF as described above, there are still some drawbacks. It was noted quite quickly that the resolution of some hydrophobic proteins (membrane proteins) was poor and others were lost when separated by IPGs. It is thought that this is because of hydrophobic interactions between the proteins and the basic acrylamide derivatives of the IPG matrix. More recently the protein patterns of some membrane preparations were compared on CA-IEF or IPG-IEF 2-D. These experiments clearly showed that the abundance of some proteins in the second dimension was significantly diminished when IPGs were used. Conversely, a wider study by Marc Wilkins and Keith L. Williams³ indicated that poor protein solubility could be a contributing factor accounting for the absence of hydrophobic proteins on 2-D gels. These authors examined proteins identified on 2-D gels and matched them to the proteins predicted by genome sequencing. Proteins whose overall amino acid composition displayed a hydrophobic bias were almost completely absent from the 2-D gels. Interestingly, the mode of IEF (CA or IPG) did not appear to affect this result, suggesting that the initial sample solubilization was the primary point where hydrophobic proteins were lost. In recent years, a greater understanding of the biological and pharmacological importance of membranes has prompted significant efforts to improve the separation of these less soluble proteins using the high-resolution method of 2-DE. The solubilization and separation of membrane proteins has proved more complex than that of soluble proteins, especially in IPGs for IEF because of their chemical character and membrane compartmentalization. However, with the benefits of IPGs outweighing most drawbacks, improved techniques and strategies for membrane protein separation have slowly evolved over the past two decades.

METHODS

Samples Preparation for 2D SDS-PAGE.

Patients with OPLL and ossification of the yellow ligament were obtained during surgery from 39 patients (ranging from 23 to 78 years old) with cervical, thoracic, or lumbar vertebrae. After informed consent was obtained from patients, ossified regions were surgically excised with ossification of the posterior longitudinal ligament, yellow ligament, and both ligaments. Normal ligament and bone were also excised for comparison. After excision, specimens were separated and the central regions of the ossified regions were frozen in liquid nitrogen and crushed using a frozen sample crusher.

Staining and image analysis

Protein spots on the gel slab used for the differential protein display analysis were visualized by staining with an old version of the Wako silver-staining reagent kit because it had the highest dynamic range of staining among commercially available reagents tested. Two-DE gel images were acquired by scanning with a GS-710 Densitometer (Bio-Rad Laboratories, Hercules, CA, USA). Noise reduction, background subtraction, spot detection, quantification, gel-to-gel matching, and differential analysis were carried out using PDQuest software (Bio-Rad Laboratories, Hercules, CA, USA). Gels for Edman degradation microsequencing and MS analysis

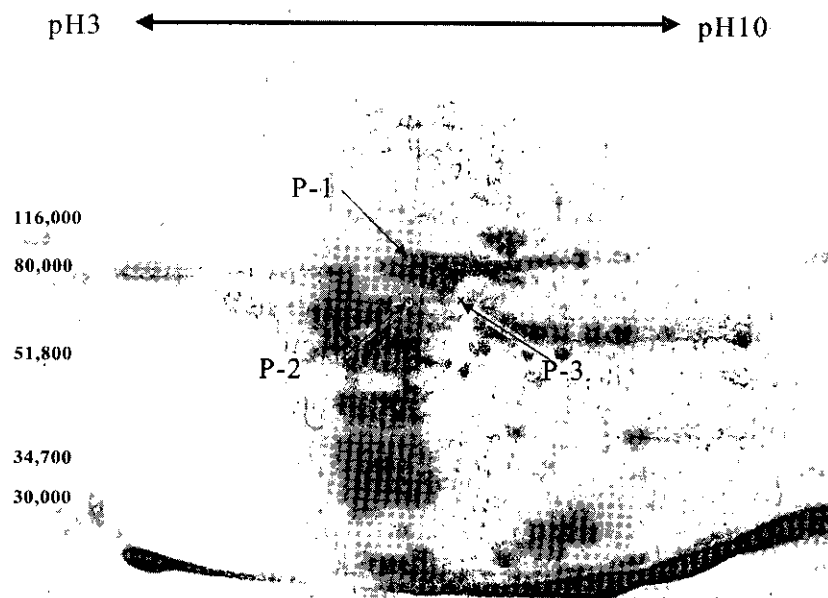


Figure 1 Two-dimensional gels of various amounts of total protein extracted from OPLL. OPLL was homogenized in the homogenization buffer and subjected to protein assay. After quantification, various amounts of proteins were loaded in the first-dimension IEF gels, followed by the second-dimension SDS-PAGE. Differential protein display by 2-DE we found that 3 protein spots were increased and these spots (P-1, P-2, P-3) were specifically detected in OPLL and OYL.

were stained with CBB 4-250 using Quick CBB staining reagent kit.

LC/MS/MS analysis

Protein spots were excised from the gel and in gel digested with trypsin according to published procedures as modified by us. In contrast to the protocol described for Coomassiestained gels, all prewashing steps were omitted. Protein for microsequencing was digested overnight with $0.2 \mu\text{g}$ of lysil endopeptidase in $100 \mu\text{l}$ of 8% v/v acetonitrile, 20mM Tris-HCl, pH8.5, at 35°C . After removing acetonitrile by blowing with nitrogen gas, peptides in the samples solution were trapped on disposable C₁₈ resin packed in a Zip Tip c18 (Millipore, Bedford, MA, USA), and eluted in a small volume of 75 % v/v methanol, 1 % v/v formic acid^[1]. LC-MS/MS^[2,13] (MAGIC 2002, Michrom BioResources, Inc, USA) for peptide sequencing were performed using a Q-ToF 2 system equiped with a Nanoflow-LC ESI

(Micromass UK, Manchester, UK). The peptide solution was charged into a borosilicate capillary tip and subjected to ESI at a flow rate of 2kV. For microsequencing, digested peptides were purified by HPLC with a Magic C18 ($0.1 \times 50\text{nm}$, Michrom BioResources, Inc, USA). Sequence homology was analyzed using the MASCOT (Matrix Science Ltd. <http://www.matrixscience.com/>) program.

RESULTS

In this study we have developed procedure of OPLL proteins profiling using subproteomix enhanced with sequential extracted fractionation. Examining among 157 spots on a reference map, we identified 12 proteins. Comparing between OPLL and OYL, we found that 3 protein spots were increased and these spots (P-1, P-2, P-3) were specifically detected in OPLL and OYL. Mass spectrometric analysis was performed at three points in OPLL and yellow ligament, and lumican^[4,5] (P-1), chainA,

P-1

{MATRIX} Mascot Search Results
{SCIENCE}

Peptide View

MS/MS Fragmentation of ILGPLSYSK
Found in g14505047, lumican [Homo sapiens]

Match to Query 18 (489.35.2+)
From data file W4uc255Vaprosience.pro\010913P2.pkl

Click mouse within plot area to zoom in by factor of two about that point
Plot from to Da
Or,

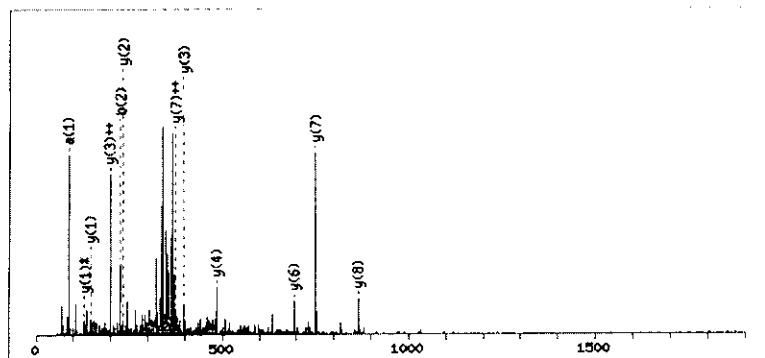


Figure 2 LC-MS/MS spectra of the tryptic digests generated from spot P-1.

P-2

{MATRIX} Mascot Search Results
{SCIENCE}

Peptide View

MS/MS Fragmentation of TFYEPGEEITYSCK
Found in g18573461, Chain A, Crystal Structure Of Human Beta-2-Glycoprotein-I (Apolipoprotein-H)

Match to Query 38 (882.50.2+)
From data file W4uc255Vaprosience.pro\010913P5.pkl

Click mouse within plot area to zoom in by factor of two about that point
Plot from to Da
Or,

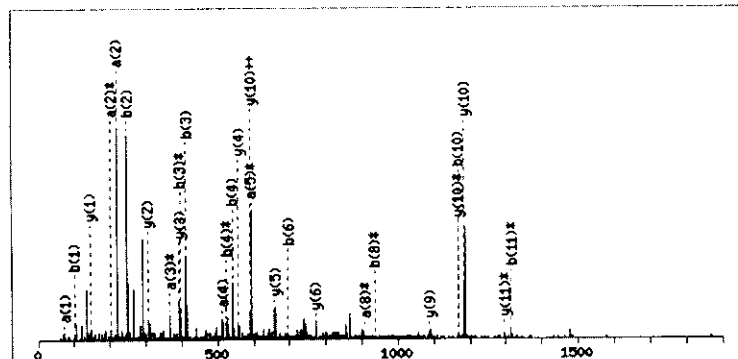


Figure 3 LC-MS/MS spectra of the tryptic digests generated from spot P-2.

crystal structure of human beta-2glycoprotein-1⁶⁾ (apolipoprotein-H) (P-2), and proline arginine-rich end leucine-rich repeat protein^{7,8)} (P-3) were obtained.

DISCUSSION

Functional involvement of the collagen 11A2 gene in ossification of the posterior longitudinal ligament has been noted⁹⁾. Type XI collagen is present in a structure in which

MATRIX Mascot Search Results

Peptide View

MS/MS Fragmentation of LPGLVFLYMEK
Found in gI4508041, proline arginine-rich and leucine-rich repeat protein [Homo sapiens]

Match to Query 31 (663.44.2+)
From data file \WUC25\proscience\pro\010913P4.pkl

Click mouse within plot area to zoom in by factor of two about that point
Or, Plot from to Da

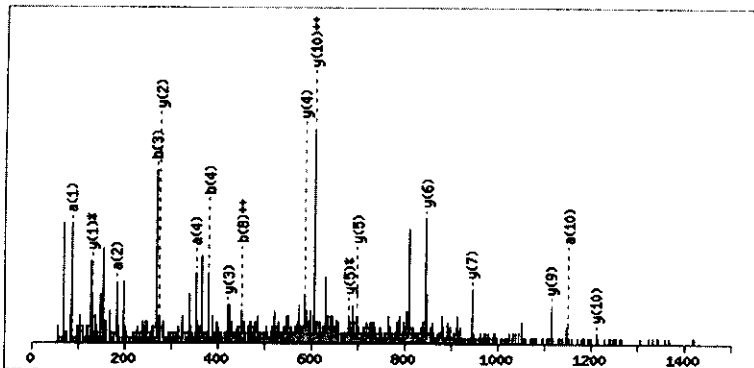


Figure 4 LC-MS/MS spectra of the tryptic digests generated from spot P-3.

the triple helix region is braided deep in type II collagen fibers, and type XI collagen plays an important role in determining the diameter of type II collagen fibers¹⁰. Since the region of type XI collagen molecules encoded by the variable region of exons 6-8 is considered to be exposed on the surface and this region is very basic, this region may be a domain that interacts with acidic proteins such as proteoglycan. Thus, proteins such as lumican, chainA, crystal structure of human beta-2glycoprotein-1, and proline arginine-rich end leucine-rich repeat protein tend to ossify. The results of this study may provide insight in characterizing ossification of spinal ligament in the future. Proteome analysis may advance health care by contributing to the elucidation of clinical diseases and development of drugs.

Summary and Conclusion

We performed proteome analysis of specimens which were obtained from patients with OPLL and/or ossification of the yellow ligament during decompression surgery, and investigated proteins by LC/MS/MS. After

two-dimensional electrophoresis using specimens from patients with OPLL or ossification of the yellow ligament, differential display was performed in each specimen. The common spot was detected, and analysis was performed by LC/MS/MS. The results will lead to clarify the etiology and to development of treatment on OPLL.

ACKNOWLEDGMENTS

We thanks Prof. H Matsumoto (The University of Oklahoma Health Sciences Center) for discussions. This work was suported by Y Ishii (Department of Orthopaedic Surgery, Nishitaga National Hospital) and S Shindou (Department of Orthopaedic Surgery, Kudanzaka Hospital).

REFRENCES

1. Tsukimoto H. (1960) A case report-autopsy of syndrome of compression of the spinal cord owing to ossification within the spinal canal. Nihon-geka-hokan. 29. 1003-1007.
2. Pandey, A. & Mann, M. (2000) Proteomics to study genes and genomes. Nature. 405. 405,

- 837-846.
3. Kahn P. (1995) From genome to proteome: Looking at a cell's proteins. *Science*. 270. 369-370.
 4. Grover J., Chen X., Korenberg J R and Roughley P. J. (1995) The human lumican gene. *J. Biol. Chem.* 270. 21942-21949.
 5. Chakravarti S. et al. (1995) Primary structure of human lumican (Keratan sulfate proteoglycan) and localization of the gene (LUM) to chromosome 12q21. 3-q22. *Genomics*. 27. 481-488.
 6. Schwarzenbacher R. et al. (1999) Crystal structure of human β -2-glycoprotein 1 : implications for phospholipid binding and the antiphospholipid syndrome. *EMBO*. 18. 6228-6239.
 7. Bengtsson E., Neame P J., Heinegard D and Sommarin Y. (1995) The primary structure of a basic leucine-rich repeat protein, PRELP, found in connective tissues. *J. Biol. Chem.* 270. 25639-25644.
 8. Grover J., Chen X., Korenberg J R., Recklies A D and Roughley P J. (1996) The gene organization, chromosome location, and expression of a 55-kDa matrix protein (PRELP) of human articular cartilage. *Genomics*. 38. 109-117.
 9. Maeda,S. et al. (2001) Functional Impact of human collagen α 2 (XI) gene polymorphism in pathogenesis of ossification of the posterior longitudinal ligament of the spine. *J Bone Miner Res.* 16. 948-957.
 10. Inoue, I. et al. (1997) A nucleotide substitution in the promoter of human angiotensinogen is associated with essential hypertension and affects basal transcription in vitro. *J Clin Invest.* 99. 1786-1797.
 11. Toda, T. et al. (2000) Proteomic analysis of Epstein-Barr virus-transformed human B-lymphoblastoid cell lines before and after immortalization. *Electrophoresis*. 21. 1814-1822.
 12. Wilm, M. et al. (1996) Femtomole sequencing of proteins from polyacrylamide gels by nano-electrospray mass spectrometry. *Nature*. 379. 466-469.
 13. Shevchenko, A., Wilm, M., Vorm, O. & Mann, M. (1996) Mass spectrometric sequencing of proteins from silver-stained polyacrylamide gels. *Anal. Chem.* 68. 850-858.
- Correspondence and requests for materials should be addressed to M. T.
(e-mail:michiyo@med.kurume-u.ac.jp) or K. N.
(e-mail:spine@med.kurume-u.ac.jp).

研究発表

第16回 日本整形外科学会シンポジウム
後縫靭帯骨化症とゲノム解析 プロテオーム解析を中心として
Ossification of the posterior longitudinal ligament and genome analysis : Proteome analysis for evaluation of gene functions
津留美智代 (M. Tsuru)* ***, 永田 見生 (K. Nagata)* ***, 佐藤 公昭 (K. Sato)*, 松本 博行 (H. Matsumoto) ***
*久留米大整形, **久留米大先端癌治療センター分子外科, ***オクラホマ大生化学分子生物学
広島 平成13年10月

脊椎後縦靭帯骨化症の感受性遺伝子解析

田中 利弘（弘前大学整形外科），古島 弘三（弘前大学整形外科），
藤 哲（弘前大学整形外科），下小野山一騎（鹿児島大学整形外科），
前田 真吾（鹿児島大学整形外科），小宮 節郎（鹿児島大学整形外科），
原田 征行（青森県立中央病院），井ノ上逸朗（東京大学医科学研究所ゲノム情報応用診断部門）

【研究要旨】

後縦靭帯骨化症（以下、OPLL）はこれまでの遺伝子解析により、コラーゲン11A2遺伝子の関与が報告されている¹⁾。またゲノム全域での候補遺伝子スクリーニングにより、BMP4を含めたいくつかの骨代謝に関連する候補遺伝子の関与も示唆されている²⁾。しかしながら、OPLLのような多因子疾患では、当然、他にも関与する遺伝子の存在が予想される。そこで我々は、感受性遺伝子の網羅的同定を目指し、ゲノム全域連鎖解析を完了した。最も強い連鎖を認めた21q21.3の領域であり、LOD Score 3.6を得ている。しかしながら、ノンパラメトリック連鎖解析においては約10—20cM（センチモルガン）領域にしか領域を絞ることができないので、なお膨大なスクリーニングとなる。次に、その領域に存在する既知の遺伝子についてSNPs（一塩基置換）をデータベースもしくはダイレクトシークエンスによるスクリーニングから遺伝子あたり数個もしくは十数個獲得し、患者・対照関連解析を行った。さらにSNPsを組み合わせハプロタイプを構築し、連鎖不平衡を利用して、疾患と関連する遺伝子多型の同定を目指している。これによりSNPそのものが直接疾患の原因になっていたくとも、これと連鎖不平衡にある多型の検出により、感受性遺伝子同定の戦略として有用な手段となりうる。これらの方針により、我々は有意差（p < 0.05）を認める遺伝子をいくつか見出している。

A. 研究目的

近年、ヒトのゲノムドラフト配列の解明や140万個のヒト遺伝子多型（SNP）の報告など、一気にゲノムサイエンスが加速し、ポストシーケンスへ向かっている³⁻⁵⁾。医学領域においては疾患感受性遺伝子解析、特に多因子疾患解析に注目が集まりつつある。Common Disease、いわゆるありふれた疾患は、高血圧や糖尿病などに代表されるように、比較的強い遺伝的背景にさまざまな環境要因が複雑に絡み合って発症する多因子疾患である。OPLLは整形外科領域におけるCommon Diseaseのひとつであり、原因究明においてこれまで数多くの報告がなされているものの未解決な問題が多い。これまでに行なったゲノム全域での罹患同胞対連鎖解析にて、21q21.3の領域に最も強い連鎖を認め、この領域の疾患への関与は示唆されているが、原因遺伝子の同定にはさらに労力を要する。そこで我々は、近年進歩の目覚ましいゲノム情報を有効に活用し、OPLLの疾患感受性遺伝子の同定を目指している。

B. 研究方法

解析に用いたSNPsは、ウェブサイトで公開されデータベースに登録されているSNPsの中でも、NCBI dbSNP (<http://www.ncbi.nlm.nih.gov/SNP/>)

及びIMS-JST JSNP DATABASE (<http://snp.ims.u-tokyo.ac.jp/>) から選出した。選出の際に考慮する点として、SNP間距離はなるべく3～10kbで均等に保つようにし、またコーディング領域のSNPを優先した。8人のOPLL患者を用いたスクリーニングによりアレル頻度1/16以上のSNPを選定し、そこからさらに、アレル頻度やSNP間の連鎖不平衡を考慮しタイピングすべきSNPを決定した。タイピングは、ケース及びコントロールサンプルそれぞれ96例で行い、関連解析によりP-value < 0.05もしくはアレル頻度差5%以上のSNPに対し、さらにケースで192例、コントロールで96例のサンプルを追加して解析を行った。タイピングにはPyrosequencing社製PSQ96及びABI PRISM 377 DNA Sequencerを使用した。

C. 研究結果

21q21.3の領域を中心とした112遺伝子、412SNPsのスクリーニング（図参照）にて、今まで表1に示す5genes、9SNPsでP-value < 0.05の有意差を認めている。なかでも、連鎖解析にてピークを示したD21S263マーカーから約2.3Mb離れた位置にあるSNP(rs762178)は、関連解析にて約8%のアレル頻度差があり、 χ^2 検定では最も強い有意差

表 1

SNP ID	contig	contig position	variation	OPLL ^a	CONTROL ^a	χ^2	P-value
INT01 (19028) ^b	NT_01151 2	18842194	delC	0.347	0.282	4.0028	0.0454
rs2070371	NT_01151 2	18945106	C/T	0.323	0.386	3.9289	0.0474
EX11 (285) ^b	NT_01151 2	18948041	C/T	0.426	0.344	6.1018	0.0135
rs2009130	NT_01151 2	19975096	C/G	0.403	0.489	5.0219	0.0250
rs762178	NT_01151 2	19976319	G/A	0.184	0.103	11.0853	0.0009
JST056070	NT_01151 2	20479445	T/G	0.233	0.305	4.0530	0.0440
JST016805	NT_01151 5	2243419	A/G	0.329	0.432	9.5675	0.0020
JST022079	NT_01151 5	3327022	G/A	0.419	0.325	6.7106	0.0096

^a Allele frequency^b screened SNPs by direct sequencing

を認め、OPLLへの関与が示唆された。

D. 考察

SNPはゲノム上に300～1000塩基に1つと高頻度に存在する遺伝子多型であり、情報度の高いマークとなりうる。SNPによる疾患感受性遺伝子同定は一般的に関連解析（ケース・コントロールスタディ）が行われている。これは「ありふれた病気に対する感受性（かかりやすさ）は集団内でのある共通の遺伝子多型（SNP）が一因である可能性が高い」というCommon Disease-Common variant仮説に基づき、疾患群と非疾患群でアレル頻度差を統計学的に検定することにより行われる。アレル頻度の違いは通常 χ^2 （カイ）検定で検討される。SNPそのものが直接原因変異となっていればよいが、疾患と関連する遺伝子変異と連鎖不均衡にあることが多い。SNPは進化上安定であるので数十世代以上にわたって受け継がれてきた多型であり、それゆえ組換えの影響を受けやすく、物理的に近いSNPでないと連鎖不均衡が成立しない。一般的には、その強さは距離、そして発生した時期に相関する。すなわちアレル間の距離が短いほど、また新しいアレルであるほど連鎖不均衡が強いといえる。概して連鎖不均衡の強さは距離に反比例するので、未知の原因変異と連鎖不均衡にある SNP を検出することにより遺伝子座の絞り込みが可能となる。我々はこれまでに、原因変異に関与する可能性を示唆する変異を9つ見出しており、今後は連鎖不均衡解析を含めたさらなる遺伝解析により、より原因変異に近い領域へとアプローチしていくつもりである。

E. 結論

連鎖解析にて最も強い有意差を認めた21q21.3領域を中心に、SNPsを用いた関連解析を行い、5genes, 9SNPsでOPLLへの関与が示唆された。

今後はこれらの変異を中心に、さらにまだスクリーニングを行っていない遺伝子に関しては遺伝解析をすすめていく必要がある。

[参考文献]

- 1) Maeda S, Ishidou Y, Koga H, et al : Functional impact of human collagen α 2 (XI) gene polymorphism in pathogenesis of ossification of the posterior longitudinal ligament of the spine. J Bone Miner Res 16 : 948-957, 2001
- 2) Furushima K, Shimo-onoda K, Maeda S, et al : Large-scale screening for candidate genes of ossification of the posterior longitudinal ligament of the spine. J Bone Miner Res 17 : 128-137, 2002
- 3) International Human Genome Sequencing Consortium : Initial sequencing and analysis of the human genome. Nature 409 : 860-921, 2001
- 4) Venter JC, Adams MD, Myers EW, et al : The sequence of the human genome. Science 291 : 1304-1351, 2001
- 5) The International SNP Map Working Group : A map of human genome sequence variation containing 1.42 million single nucleotide polymorphisms. Nature 409 : 928-933, 2001

F. 研究発表

1. 論文発表

Furushima, K., Shimo-onoda, K., Maeda, S., Nobukuni, T., Ikari, K., Koga, H., Komiya, S., Nakajima, T., Harata, S., Inoue, I. 2001. Large scale screening for candidate genes of ossification of the posterior longitudinal ligament of the spine. *J. Bone Miner. Res.* 17, 128-137.

Maeda, S., Ishidou, Y., Koga, H., Taketomi, E., Ikari, K., Komiya, S., Takeda, J., Sakou, T., and Inoue, I. 2001. Functional impact of human collagen α 2 (XI) gene polymorphism in pathogenesis of ossification of the posterior longitudinal ligament of the spine. *J. Bone. Miner. Res.* 16, 948-957.

Havelka, S., Vesela, M., Pavelkova, A., Halman, L., Ruzickova, S., Koga, H., Maeda, S., Inoue, I., 2001. Are diffuse idiopathic skeletal hyperostosis (DISH) and ossification of the posterior longitudinal ligament of the spine (OPLL) genetically related? *Annal. Rheum. Dis.* ARD : 118.

Maeda, S., Koga, H., Matsunaga, S., Numasawa, T., Takeda, J., Harata, S., Sakou, T., Inoue, I. 2001. Gender-specific haplotype association of collagen α 2 (XI) gene in ossification of the posterior longitudinal ligament of the spine. *J. Hum. Genet.* 46, 1-4.

2. 学会発表

23rd Annual Meeting of the American Society for Bone and Mineral Research
【Phoenix, Arizona, USA】 October 12-16, 2001

Osteogenic differentiation of human mesenchymal stem cell could be regulated by β -catenin pathway.

S. Maeda^{1,2}, K. Shimo-Onoda^{1,2}, T. Nobukuni¹, K. Hayashi², H. Koga², S. Matsunaga², K. Yone², S. Komiya², I. Ituro¹.

¹Division of Genetic Diagnosis, The Institute

for Medical Science, The University of Tokyo.

²Department of Orthopaedic Surgery, Faculty of Medicine, Kagoshima University.

第19回日本骨代謝学会

【名古屋市】名古屋国際会議場 8月 10, 11日
ヒト間葉系幹細胞の骨芽細胞分化における
 β -cateninの関与

¹鹿児島大学医学部整形外科学教室

²東京大学医科学研究所ゲノム情報応用診断
前田真吾^{1,2}, 下小野田一騎^{1,2}, 信国宇洋², 古賀公明¹, 林 協司¹, 松永俊二¹, 米 和徳¹, 小宮節郎¹, 井ノ上逸朗²

第16回日本整形外科学会基礎学術集会

【広島市】広島国際会議場 10月 18, 19日(広島大学医学部整形外科)

ヒト間葉系幹細胞の骨芽細胞分化と β -catenin の機能的関連

¹鹿児島大学医学部整形外科学教室

²東京大学医科学研究所ゲノム情報応用診断
前田真吾^{1,2}, 下小野田一騎^{1,2}, 信国宇洋², 古賀公明¹, 林 協司¹, 松永俊二¹, 米 和徳¹, 小宮節郎¹, 井ノ上逸朗²

脊椎後縦靭帯骨化症の相関解析：マイクロサテライトマーカーによる原因遺伝子探索

山形 哲司（東海大学分子生命科学2）、猪子 英俊（東海大学分子生命科学2）、
太田 正穂（信州大学法医学教室）、勝山 善彦（信州大学病院薬剤部）、
屋敷 伸治（鹿児島大学ウイルス学）、園田 俊郎（鹿児島大学ウイルス学）、
古賀 公明（鹿児島大学整形外科）、松永 俊二（鹿児島大学整形外科）、
武富 栄二（鹿児島大学整形外科）、酒匂 崇（鹿児島大学整形外科）

【研究要旨】

我々は、OPLL の発症に関与する遺伝的要因を全ゲノムを対象とした多型マイクロサテライトマーカーによる相関解析によって明らかにする計画を推進してきた。約 3,000Mb の全ゲノムを高精度に解析するために必要となるマーカーの数は、約 30,000 個である。この数量のマーカーを設定するために、45,417 個の単純繰返し配列を公的塩基配列データベースより抽出して多型性を評価した。既知マーカーから 9,099 個、新規マーカーとして 19,311 個の多型性を示すマイクロサテライトマーカーが得られた。これらの結果、目標である 1 マーカー / 100kb の密度でゲノム全域に対応するマーカーが設定できることから OPLL の相関解析が開始できる状況に到達した。

A. 研究目的

脊椎後縦靭帯骨化症 (OPLL) の発症に関する遺伝因子としては、コラーゲン 11A2 (COL11A2) 遺伝子¹⁾ や NPPS 遺伝子や TGFB1 遺伝子の関与^{2,3)} が報告されている。しかしながら、OPLL の発症に関する全ての遺伝子が、明らかになったわけではない。OPLL の発症が複数の関連遺伝子によるのであれば、ゲノム全域を対象とした解析は、原因遺伝子を特定するための有効な手段である。しかしながら、ヒトゲノムの塩基配列がほぼ決定された現時点においても、個々の患者のゲノムを精査することは現実的ではない。したがって、一塩基の置換やマイクロサテライトのような遺伝的多型マーカーの開発が急がれている。

本研究では、OPLL 原因遺伝子を同定するためのゲノムワイドな疾患遺伝子（群）のスクリーニングを可能にする約 28,000 個の多型マイクロサテライトマーカーの確立を目的とした。

B. 研究方法

多型性を示すマーカーとしてマイクロサテライトをゲノムワイドに収集するため、GenBank/EMBL/DDBJ 塩基配列データベースに公開されているヒトのゲノム塩基配列より、多型を示すことが期待される単純繰返し配列、すなわち 2 塩基～5 塩基の繰返し配列であるマイクロサテライトを独自に設計したソフトウェア (nnmt) により抽出

した。抽出の際には、反復回数の基準として 2 塩基のマイクロサテライトでは、10 回以上、3～5 塩基のマイクロサテライトでは、5 回以上の繰返しが認められる配列を選択した。各マイクロサテライト配列には、PCR により増幅した際に 200 bp～450 bp のサイズとなるようにプライマーを設計した。これらのプライマーセットによって検出されるマイクロサテライト部位が、日本人の一般集団において相関解析に十分な多型性を示すことは、以下の方法により確認した。使用した DNA は、当大学倫理委員会において承認を受けた後、インフォームドコンセントにより、同意を得た 100 名の日本人健常者の末梢血から抽出した。抽出した DNA を蛍光色素 pico green を用いて定量することで、100 検体分の DNA を等しく混合した DNA 液を調整して PCR 反応の錆型に使用した。PCR により増幅した産物は、自動シーケンサーにより泳動し、設計したマイクロサテライトマーカーの多型性を検出した。

C. 研究結果

相関解析に用いる遺伝的マーカーとして、現在 1 塩基多型 (SNP) とマイクロサテライトが利用されている。マイクロサテライトは、SNP と比べて対立遺伝子数が多く高いヘテロ接合度を持つ点で、遺伝的マーカーとしてより効率的である。ただし、日本人の患者群を対象とした解析には、日本人集団における多型性を検討したマイクロサテライトマーカー

の設定が不可欠であった。そのため我々は、昨年度までに既知のマーカー 6,180 個と新規のマーカー 13,751 個より、13,909 個の多型マイクロサテライトマーカーを確立した。マイクロサテライトマーカーの連鎖不平衡距離は約 100 kb であるので、約 30,000 個のマーカーによってヒト全ゲノムをカバーできる。本年度は、引き続き塩基配列データベースに登録されたヒトゲノムのドラフト塩基配列より抽出した新規のマーカーについて、その多型性を検討した。本研究では、処理速度の向上のため 1 回の PCR 反応によって 100 検体のマイクロサテライトマーカーを増幅して検出する手法を用いた。現在までに、100 人の日本人健常者をコントロール DNA として、45,417 個のマイクロサテライトマーカーについて多型性の判定が終了した。多型性を示したマーカーは、既知と新規を合わせて 28,410 個に達した。

D. 考察

ヒトゲノムを 30,000 個のマイクロサテライトによって 100 kb の分解能で検索する相関解析のシステムを目標として多型マーカーを整備してきた。ヒトゲノムの塩基配列が厳密には、全領域をカバーしていないことを考慮すれば、これまでの結果により、ほぼ予定した密度の多型マーカーが設定され解析可能な状態に整備された。得られた約 28,400 個の多型マイクロサテライトマーカーセットは、日本人集団内での多型性が検証されており、日本人集団に特徴的な他の疾患の解析にも有効であると考えられる。既に多数の検体を効率的に処理する手法も開発しているが、なお考慮すべき点があると思われる。相関解析を困難にする一つの要因は、解析する検体がヘテロな集団で点である。OPLL 病態が一様ではなく、COL11A2 遺伝子で示された多型に性差がある¹⁾ことから、解析時には可能であれば詳細に分類すべきであろう。今後は、多型マイクロサテライトマーカーによる相関解析によって OPLL の原因遺伝子を約 100 ~ 200 kb 程度の範囲に限定し、各候補領域については、発現遺伝子の同定や SNP マーカーを併用した、より高精度な相関解析を行う予定である。

E. 結論

OPLL は多様な病態を示し、その原因を遺伝子レベルでは説明できていないことから、ゲノムワイドな遺伝子の探索法として、多型マイクロサテライトを用いた相関解析を計画した。この解析には、必要

な日本人集団に合わせた多型マイクロサテライトが不可欠であり、その収集を行った結果、現在までに 28,410 個の多型マーカーの設定し、予定した密度 (100 kb / マーカー) を達成した。

[参考文献]

- 1) Koga H et al. Genetic Mapping of ossification of the posterior longitudinal ligament of the spine. Am J. Hum. Genet. 62 : 1460-1467, 1998
- 2) Okawa A. et al. Mutation of nucleotide pyrophosphatase gene in a mouse model of ossification of the posterior longitudinal ligament of the spine. Nature Genet. 19 : 271-273, 1998
- 3) Kamiya M, Harada A, Mizuno M, Iwata H, Yamada Y. Association between a polymorphism of the transforming growth factor-beta1 gene and genetic susceptibility to ossification of the posterior longitudinal ligament in Japanese patients. Spine Jun 1 : 26(11) : 1264-7, 2001
- 4) Maeda S, Koga H, Matsunaga S, Numasawa T, Ikari K, Furushima K, Harata S, Takeda J, Sakou T, Komiya S, Inoue I. Gender-specific haplotype association of collagen alpha2 (XI) gene in ossification of the posterior longitudinal ligament of the spine. J Hum Genet. 46(1) : 1-4, 2001

F. 研究発表

1. 論文発表

1. 松坂恭成, 猪子英俊:DNA 解析と機能的ゲノム学が生む技術, 医療機器センター 15 周年記念誌, 財團法人医療機器センター, 東京, 2001 ; p. 32-35.
2. 岡本浩一, 田宮本元, 猪子英俊:ポストゲノム時代の遺伝統計学 (鎌谷直之編, ゲノムワイド相関解析による乾癬感受性遺伝子の検索, 羊土社, 東京, 2001 ; p. 47-68).
3. Ikewaki I, Tamauti H, Yamada A, Aoki M, Yamamoto R, Sawada A, Inoko H : A microfilament formation inhibitor, cytochalasin strongly enhances the low-affinity Fc receptor II (CD23) expression on the human monocyte-like

- cell line, U937. *J Clinical Immunology* 20 : 424-433, 2001.
4. Deguchi R, Takagi A, Kawata H, Inoko H, Miwa T : Association between CabA + Helicobacter pylori infection and p.53, BAX and TGFb-RII gene mutations in gastric cancer patients. *International J Cancer* 91 : 481-485, 2001.
 5. Sugimura K, Ota M, Matsuzawa J, Katsuyama Y, Ishizuka K, Mochizuki T, Mizuki N, Seki S, Honma T, Inoko H, Asakura H : A close relationship of triplet polymorphism in MHC class I chain-related gene A (MICA) to the disease susceptibility and behavior in ulcerative colitis. *Tissue Antigens* 57 : 9-14, 2001.
 6. Ota M, Katsuyama Y, Kimura A, Tsuchiya K, Kondo M, Naruse T, Mizuki N, Sasazuki T, Inoko H : A second susceptibility gene for developing rheumatoid arthritis in the human MHC is localized within a 70 kb interval telomeric of the TNF genes in the HLA class III region. *Genomics* 71 : 263-270, 2001.
 7. Mizuki N, Yabuki K, Ota M, Verity D, Katsuyama Y, Ando H, Onari K, Goto K, Imagawa Y, Mandnat W, Fayyad F, Stanford M, Ohno S, Inoko H : Microsatellite mapping of a susceptible locus within the HLA region for Behcet's disease using Jordanian patients. *Hum Immunol* 62 : 186-190, 2001.
 8. Shiina T, Ando A, Suto Y, Kasai, Shigenari A, Takishima N, Kikkawa E, Iwata K, Kuwano Y, Kitamura Y, Matsuzawa Y, Sano K, Nogami M, Kawata H, Li S, Fukuzumi Y, Yamazaki M, Tashiro H, Tamiya G, Kohda A, Okumura K, Ikemura T, Soeda E, Mizuki N, Kimura M, Bahram S, Inoko H : Genomic anatomy of a premiar Major Histocompatibility Complex paralogous region on chrromosome 1q21-22. *Genome Research* 11 : 789-802, 2001.
 9. Matsuzaka K, Makino S, Nakajima K, Tomizawa M, Oka A, Bahram S, Kulski JK, Tamiya G, Inoko H : New microsatellite markers in the human MHC class III region. *Tissue Antigens* 57 : 397-404, 2001.
 10. Mizuki N, Ota M, Katsuyama Y, Yabuki K, Ando H, Yoshida M, Katsuhiro O, Nikbin B, Davatchi F, Chams H, Ghaderi AA, Ohno S, Inoko H : HLA class I genotyping including HLA-B*51 allele typing in the Iranian patients with Behcet's disease. *Tissue Antigens* 57 : 457-462, 2001.
 11. Gasper JA, Shiina T, Inoko H, Edwards SV : Songbirds genomics : Analysisi of 45 kb upstream of a polymorphic Mhc class II gene in red-winged blackbirds (*Agelaius phoeniceus*). *Genomics* 75 : 26-34, 2001.
 12. Ando A, Kawata H, Murakami T, Shigenari A, Shiina T, Sada M, Tsuji T, Toriu A, Nakanishi Y, Mitsuhashi T, Sekikawa K, Inoko H : cDNA cloning and genetic polymorphism of the swine major histocompatibility complex (SLA) class II DMA gene. *Anim Genet* 32 : 73-77, 2001.
 13. Holland LZ, Rached LA, Tamme R, Holland ND, Inoko H, Shiina T, Burgdorf C, Lardelli M : Characterization and developmental expression of the amphioxus homolog of Notch (Amphi-Notch) : evolutionary conservation of multiple expression domains in amphioxus and vertebrates. *Dev Biol* 232 : 493-507, 2001.
 14. Obuchi N, Takahashi M, Nouchi T, Satoh M, Arimura T, Ueda K, Akai J, Ota M, Naruse T, Inoko H, Numano F, Kimura A : Identification of MICA alleles with a long Leu-repeat in the transmembrane region and no cytoplasmic tail due to a frameshift-deletion in exon 4. *Tissue Antigens* 57 : 520-535, 2001.
 15. Arai T, Yoshida K, Kaburaki J, Inoko H, Ikeda Y, Kawakami Y, Kuwana M :

- Autoreactive CD4(+) T-cell clones to beta (2)-glycoprotein I in patients with antiphospholipid syndrome : preferential recognition of the major phospholipid-binding site. *Blood*. 98 : 1889-1896., 2001.
16. Kulski JK, Martinez P, Longman-Jacobsen N, Wang W, Williamson J, Dawkins RL, Shiina T, Naruse T, Inoko H : The association between HLA-A alleles and an Alu dimorphism near HLA-G. *J Mol Evol*. 53 : 114-123, 2001.
17. Tsuda TT, Tsuda M, Naruse T, kaata H, Ando A, Shiina T, Fukuda M, Kurita M, KeMaho I, Kulski JK, Inoko H : Phylogenetic analysis of penguin (Spheniscidae) species based on sequence variation in MHC class II gene. *Immunogenetics* 53 : 712-716, 2001.
18. Taniguchi Y, Sato M, Tanaka O, Sekiguchi M, Inoko H, Kimura M : HOXD3 regulates expression of JAGGED1, a ligand for Notch receptors. *Nucleic Acids Research Supplement No. 1* : 43-44, 2001.
19. Taniuchi Y, Suzuki H, Ohtsuka M, Kikuchi N, Kimura M, Inoko H : Isolation and characterization of three genes paralogous to mouse Ring3. *Nucleic Acids Research Supplement No. 1* : 247-248, 2001.
20. Seki SS, Sugimura K, Ota M, Matsuzawa J, Katsuyama Y, Ishizuka K, Mochizuki T, Suzuki K, Yomeyama Y, Mizuki N, Honma T, Inoko H, Asakura H : A stratification analysis of MICA triplet repeat polymorphisms and HLA-antigens associated with ulcerative colitis. *Tissue Antigens* 58 : 71-76, 2001.
21. Sano K, Yabuki Y, Imagawa Y, Shiina T, Mizuki N, Ohno S, Kulski JK, Inoko H : The absence of disease-specific polymorphisms within the HLA-B51 gene that is the susceptible locus for Behcet's disease. *Tissue Antigens* 58 : 77-82, 2001.
22. Romphruk AV, Naruse TK, Romphruk A, Kawata T, Pauapairoj, Kulski JK, Leelayuwat, Inoko H : Diversity of MICA (PERB11.1) and HLA haplotypes in Northeastern Thais. *Tissue Antigens* 58 : 83-89.
23. Mizuki N, Ota M, Katsuyama Y, Yabuki K, Ando H, Shiina T, Nomura E, Onari K, Ohno S, Inoko H. HLA-B*51 allele analysis by the PCR-SBT method and a strong association of HLA-B*5101 with Japanese patients with Behcet's disease. *Tissue Antigens* 58 : 181-184, 2001.
24. Kulski JK, Dunn DS, Gaudieri S, Shiina T, Inoko H : Genomic and phylogenetic analysis of the human CD1 and HLA class I multicity genes. *J Mol Evol*. 53 : 642-650, 2001.
25. Ishikawa Y, Kashiwase K, Okai M, Ogawa A, Akaza T, Morishima Y, Inoko H, Sasazuki T, Kodera Y, Juji T. Polymorphisms in the coding region of mtDNA and effects on clinical outcome of unrelated bone marrow transplantation. *Bone Marrow Transplant*. 28 : 603-607, 2001.
26. Niizeki H, Naruse T, Hecker KH, Taylor JR, Kurimoto I, Shimizu T, Yamasaki Y, Inoko H, Streilein JW : Polymorphisms in the tumor necrosis factor (TNF) genes are associated with susceptibility to effects of ultraviolet-B radiation on induction of contact hypersensitivity. *Tissue Antigens* 58 : 369-378, 2001.
27. Suemizu H, Radosavljevic M, Kimura M, Sadahiro S, Yoshimura S, Bahrama S, Inoko H : A basolateral sorting motif in the MICA cytoplasmic tail. *Proc Natl Acad Sci USA* 99 : 2971-2976, 2002.
28. Kulski JK, Dunn DS, Hui J, Martinez P, Romphruk AV, Leelayuwat C, Tay GK, Oka A, Inoko H. Alu polymorphism within the MICB gene and association with HLA-B alleles. *Immunogenetics* 53 : 975-979, 2002.
29. Yabuki K, Mizuki N, Ota M, Verity D, Goto K, Kimura T, Nomura E, Madanat W, Katsuyama Y, Kimura M, Stanford M, Inoko H : A Ohno S : A strong association

- between MICA gene and Behcet's disease in Jordanin. J. Ophthalmology in press
30. Ando A, Kawata T, Murakami T, Shigenari A, Shiina T, Sada M, Tsuji T, Toriu A, Nakanishi Y, Mitsuhashi T, Sekikawa K, Inoko H : cDNA clone and genetic polymorphisms of the swine major histocompatibility complex (SLA) class II DMA gene. Animal Genetic in press
31. Kulski JK, Martinez P, Longman-Jacobsen N, Wang W, Williamson J, Dawkins RL, Shiina T, Naruse T, Inoko H : The association between HLA-A alleles and an Alu dimorphisms near HLA-G. J Mol Evol in press
32. Kuwana M, Arai T, Yoshida K, kaburaki J, Inoko H, Ikeda Y, Kawakami Y : Autoreactive CD4 + T cell clones to b2-glycoprotein I in patients with antiphospholipid syndrome : Preferential recognition of the major phospholipid-binding site. Blood in press
33. L. Abi-Rached, A Gilles, T Shiina, P Pontarotti, H Inoko : Large scale duplications in vertebrate evolution : insights from amphioxus. Nature Genetics in press
2. 学会発表
1. Inoko H : Genomewide scan of disease genes through microsatellites. Special Lecture, The 1st Indian Society for Histocompatibility and Immunogenetics, 2001.
 2. Naruse TK, kawata H, Nakashima M, Inoko H : Simple and rapid HLA-A and DRB1 SSP genotyping using the 2 color dyes fluorescence detection system. The 1st Indian Society for Histocompatibility and Immunogenetics, 2001.
 3. Inoko H : Strategy for genome wide disease mapping using microsatellites : EXTRA SEMINAR in Department of Immunohematology and Blood Transfusion Leiden University, 2001.
 4. Inoko H : Strategy for genome wide disease mapping using microsatellites by association study. Seminar in Max-Planck-Institute fro Molecula Genetic, 2001.
 5. Inoko H : Comparative MHC Genomics, 5th Chromosome Workshop, 2001
 6. Inoko H : Genome-wide scan of disease genes through microsatellites. The Korean Society for Immunologu, 2001.
 7. Inoko H : HLA to human genome diversities : Genomewide scan of disease genes by association analysis using microsatellites, Plenary session in the 16th European Histocomaptibility Conference EFI Meeting
 8. Inoko H : PSORS1 and genome—wide mapping by microsatellite— based association analysis. The 6th Internatinal Psoriasis Geneics Committee Meeting.
 9. Inoko H : From HLA to human genome diversities : Disease gene mapping by association analysis using microsatellites, Keynote addresses in the 13th International Congress of Histocomaptibility and Immunogenetics. Japan French Immunlogy meeting
 10. Inoko H : Strategy for genome-wide mapping of common diseases using association analysis with microsatellites. Genome Science in the 1st Century ; Information of the Higher-Order Structure beyond the Primary Sequence, 2001.
 11. H Inoko, T Anzai, Y Fukuzumi, M Yamazaki, H Tashiro, JK Kulski, T Shiina : Genome sequencing and comparative genome analysis on the chimpanzee MHC class I region. GEMINI Workshop on Ape Genomics, 2001.
 12. H Inoko : Comaprative genomics on the MHCs by genome sequencing. Symposium on Evolution Genomics, 2001
 13. Inoko H : Genome-wide scan of disease genes by association analysis using microsatellites. The 1st Hakone-yama Symposium, "Genetic anlaysis of

- Multifactorial Diseases” 2001
14. Inoko H : Genome-wide scanning of disease-susceptible loci by microsatellite markers. Genomics and Phenomics of Vasculitis and Atherosclerosis, 2001.
 15. 猪子英俊：マイクロサテライトを用いた疾患遺伝子のマッピングの戦略，ゲノムシンポジウム，2001。
 16. 猪子英俊：HLAは何故多くの疾患発症に関わるのか？，第100回日本皮膚科学会総会教育講演，2001。
 17. 猪子英俊：ゲノムワイドな疾患のマッピング戦略—マイクロサテライトを用いて，第197回DNA研究会，2001。
 18. 猪子英俊：マイクロサテライトを用いたゲノムワイドな疾患遺伝子マッピングの戦略：HLA モデル領域として，第1回 G1 (gastrointestinal) リサーチフォーラム，2001。
 19. 猪子英俊：疾患関連遺伝子同定のストラテジー—HLA 領域をモデルとして—，第8回日本遺伝子診療学会大会 シンポジウム「ゲノムの個性と疾患」，2001。
 20. 猪子英俊：疾患関連遺伝子同定のストラテジー—HLA 領域をモデルとして—，山之内製薬セミナー，2001。
 21. 猪子英俊：疾患関連遺伝子同定のストラテジー—HLA 領域をモデルとして—，湧永製薬セミナー，2001。
 22. 猪子英俊：HLA と相関する疾患の感受性遺伝子の探索，臨床 HLA 研究会セミナー，2001。
 23. 猪子英俊：MIC と CD1 遺伝子領域のゲノム構造，第10回日本組織適合性学会 シンポジウム「Non-classical MHC」，2001。
 24. 猪子英俊：マイクロサテライト多型を用いた HLA と相関する疾患の遺伝子マッピングと同定，第10回日本組織適合性学会 シンポジウム「多因子疾患の遺伝要因としての HLA」，2001。
 25. 猪子英俊：ポストゲノムシークエンシング解析のモデル領域としての MHC—ゲノム多様性解析と比較ゲノム解析—，第10回日本組織適合性学会 シンポジウム「MHC—総合ゲノム科学の視点から」，2001。
 26. 猪子英俊：箱根山シンポジウム “多因子疾患の遺伝子解析：遺伝子同定から臨床応用へ”，2001。
 27. 猪子英俊：複合疾患関連遺伝子のマイクロサテライトを用いたゲノムワイドなマッピングの戦略，第9回難病治療研究会，2001。
 28. 猪子英俊：マイクロサテライトを用いたゲノムワイドな相関解析による疾患遺伝子のマッピング，第40回長崎大学大学院特別セミナー，2001。

G. 知的所有権の取得状況

無し

老化促進モデルマウスを用いた第11骨量制御遺伝子座の解析 及び後縦靭帯骨化の検索

清水 基行（京都大学大学院医学研究科筋・骨格系病態学分野），
松下 瞳（京都大学大学院医学研究科筋・骨格系病態学分野），
松村 拓郎（京都大学大学院医学研究科筋・骨格系病態学分野），
奥平 修三（京都大学大学院医学研究科筋・骨格系病態学分野），
細川 昌則（京都大学再生医科学研究所再生統御学部門），
中村 孝志（京都大学大学院医学研究科筋・骨格系病態学分野）

【研究要旨】

我々は以前、低骨量マウス系統であるSAMP6と高骨量系のSAMP2を用いた交配実験による連鎖解析の結果、peak bone massはpolygene系の遺伝形式であり、そのQTL (quantitative trait loci) つまり、原因となる遺伝子座は第11、13染色体に存在することを示した。今回、第11染色体にQTLを含むintervalを持つコンジェニックマウスを2系統作製し、peak bone massを測定した。両系統とも各々のバックグラウンド系統に比し、骨量に有意な差を認め、第11染色体に連鎖解析で得られたQTLが存在することが証明された。また、高骨量系のSAMP2老齢マウスの脊椎には、X線写真、組織標本にてもOPLLは確認されず、SAM系統の高骨量はOPLLとは直接的には関係がないと考えられた。

A. 研究目的

SAM (Senescence-Accelerated Mouse : 老化促進モデルマウス)は一連の関連近交系マウスであり、10数系統存在する^{1,2)}。その一つであるSAMP6(以下P6)は、SAMの中では最も低いpeak bone massを呈し、老年性骨粗鬆症のモデル動物とされている。また、SAMP6の対照であるSAMP2(以下P2)は、SAMの中では最も高いpeak bone massを示す系統の一つである。上記2系統の交配実験を用いた連鎖解析の結果、peak bone massはヒトと同じくpolygene系の遺伝形式であり、そのQTLは第11、13染色体に存在することがこれまでに示唆されている。また、P6のalleleは低骨量に、P2のalleleは高骨量に関係している³⁾。この原因遺伝子を同定するための第一歩としては、polygene系からsingle gene系のモデル動物に変換することが必要である。今回、第11染色体にQTLを含むintervalを持つコンジェニックマウスを、P6バックグラウンドの系統及びP2バックグラウンドの系統の2系統を作製し、その骨量を測定することでQTLの存在を確認することを目的とした。さらに、donor strain由来のintervalを決定することで、骨量と連鎖する染色体上の領域を詳細に検討することを試みた。また、OPLLの患者が高骨密度を示す報告^{4,5)}が散見されることから、高骨量系のP2にOPLLが存在するかどうかX線写真、組織標本を用いて確認した。

B. 研究方法

はじめに、バックグラウンドがP6で、第11染色体のQTL上の領域のみがP2であるコンジェニックマウスの作製法を説明する。まず、低骨量系のP6に高骨量系のP2を交配しF1を作製し、以降、P6に6回連続戻し交配してN7を作った。交配の際、26cMのQTLの領域に渡る3つのマイクロサテライトマーカー(D11Mit242, D11Mit90, D11Mit59)において、全てP2のalleleを持つ個体を選抜した。これにより計算上は99%のバックグラウンドがP6となるが、念のため他の染色体のマーカーを43個用いて、全てP6のalleleであることを確認した。最後に、第11染色体のQTLの領域がヘテロであるN7同士を交配してホモの個体を作製し、以後、兄妹交配にて維持を行った。骨量測定は、peak bone massを呈する4ヶ月齢雄マウスの大脛骨骨量をMD法にて測定した。また、この遺伝子座をPbd1 (Peak bone density 1)とし、このコンジェニック系統をP6.P2-Pbd1bと名付けた。これとは逆にF1作製後、P2に連続戻し交配することで、バックグラウンドがP2で、第11染色体のQTL(Pbd1)上の領域のみがP6であるコンジェニックマウスP2.P6-Pbd1aも作製した。SAMP系統の平均寿命は8—10ヶ月と報告されており(P2は9.2ヶ月、P6は8.1ヶ月)、短命であるため8ヶ月齢でも十分老齢であると思われる。したがって、8ヶ月齢雄の高骨量系のP2を5匹、低

骨量系のP6を3匹屠殺し、大腿骨骨量をMD法にて測定し、全脊椎を正側面にて軟部X腺撮影を行った。同一のサンプルを用い、5%ギ酸ホルマリンを用いて脱灰標本を作製し、hematoxylin eosin染色及びelastica van Gieson染色にて全脊椎での後縦靭帯の骨化の存在を検索した。

C. 研究結果

- 1) コンジェニックマウスの第11染色体におけるdense map P6.P2-Pbd1bでは、32cMはP2のホモの領域になっており、double recombinationは認められなかった。また、最遠位部の16cMはN7F1の段階でヘテロになっていた。また、P2.P6-Pbd1aでは、最遠位部の16cMがパッセンジャーDNAの領域となり、48cMと長い距離がP6のホモの領域になっており、やはりdouble recombinationは認められなかった。
- 2) コンジェニックマウスのpeak bone mass4ヶ月齢の雄のマウスの大軸骨骨量を測定すると、P6.P2-Pbd1bの骨量は、バックグラウンド系統であるP6と比較すると有意に高く($P < 0.0001$)、その差はP6とP2の骨量差の26.8%に相当した。また逆に、P2.P6-Pbd1aの骨量は、バックグラウンド系統であるP2と比較すると有意に低く($P < 0.0001$)、その差はP6とP2の骨量差の56.3%に相当していた。更に、ここでは示さないが、MD法のもう一つのパラメーターである $\Sigma GS/D2$ も同様の結果を呈し、DXA、pQCTと骨量測定方法を変えてもほぼ同様の結果が得られた。
- 3) 老齢SAMマウスの骨量とOPLLの存在
8ヶ月齢でもP2はP6と比較すると有意に骨量は高かった($P < 0.0001$)。また、両系統ともX線像、標本とも全脊椎での後縦靭帯の骨化の存在を認めなかった。

D. 考察

コンジェニックマウスの結果からは、第11染色体にあるP2のintervalが、P6とP2の骨量差の26.8%に相当する骨量を引き上げ、P6のintervalが56.3%に相当する骨量を引き下げたと考えられ、連鎖解析で計算されていたQTLがPbd1の領域に存在することが証明された。この領域は、KleinらがC57BL/6とDBA/2を用い⁶⁾、BenesらがSAMP6とAKR/J⁷⁾を用いて、DXAによるマウス全身骨密度をパラメーターとした連鎖解析から得られたQTLともほぼ一致する。更に、腰椎骨密度とのassociation

studyの報告⁸⁾があるtype I collagen α 1等、candidate geneの数多く存在するヒト第17染色体長腕とsyntenyを持つ領域でもある。

最終的にはpeak bone massを制御する遺伝子そのものを単離することが目標であるが、このようなポリジーン系の形質に対するstrategyとして、2種類が考えられる。一つは更に交配実験を続けて、現在あるコンジェニックマウスの持つ領域を更に狭めたsubcongenic strainを数系統作ることでcongenic mappingを行い、最終的に1cMまで遺伝的距離を縮めて、物理的地図の作製を行う従来からのpositional cloningの応用である⁹⁾。もう一つは、マイクロアレイ等の方法を用い、コンジェニックマウス系統とバックグラウンド系統間で、当該組織での発現量の異なる遺伝子を同定する方法である¹⁰⁾。我々は現在この2つの方法によるアプローチを開始している。OPLLのモデルとしてはttwマウスがあり¹¹⁾、positional candidate gene approachにて原因遺伝子が同定されているが、ヒトでは未だ完全には同定されていない。SAMP2マウス系統が高骨量系統であることは既知であったので、OPLLの新たな動物モデルとなる可能性を調査したが、後縦靭帯の骨化を認めなかった。

E. 結論

コンジェニックマウスの骨量測定の結果から、peak bone massを制御していると思われる第11染色体QTLの存在が証明された。また、SAMP2老齢マウスの高骨量はOPLLとは直接的には関係がないと考えられた。

[参考文献]

- 1) Takeda T. The SAM model of senescence. Amsterdam, London, New York, Tokyo, Excerpta Medica, 1994
- 2) Takeda T, Hosokawa M, Higuchi K. Senescence-accelerated mouse (SAM) : a novel murine model of senescence. Exp Gerontol, 32 : 105-109, 1997
- 3) Shimizu M, Higuchi K, Bennett B, et al. Identification of peak bone mass QTL in a spontaneously osteoporotic mouse strain. Mamm Genome, 10 : 81-87, 1999
- 4) Hirai N, Ikata T, Murase M, et al. Bone mineral density of the lumbar spine in patients with ossification of the posterior longitudinal

- ligament of the cervical spine. *J Spinal Discord*, 8(5) : 337-41, 1995
- 5) Yamauchi T, Taketomi E, Matsunaga S, et al. Bone mineral density in patients with ossification of the posterior longitudinal ligament in the cervical spine. *J Bone Miner Metab*, 17(4) : 296-300, 1999
 - 6) Klein RF, Mitchell SR, Phillips TJ, et al. Quantitative trait loci affecting peak bone mineral density in mice. *J Bone Miner Res*, 13 (11) : 1648-56, 1998
 - 7) Benes H, Weinstein RS, Zheng W, et al. Chromosomal mapping of osteopenia-associated quantitative trait loci using closely related mouse strains. *J Bone Miner Res*, 15 (4) : 626-33, 2000
 - 8) Grant SF, Reid DM, Blake G, et al. Reduced bone density and osteoporosis associated with a polymorphic Sp1 binding site in the collagen type I alpha 1 gene. *Nat. Genet.* 14(2) : 203-5, 1996
 - 9) Lyons PA, Armitage N, Argentina F, et al. Congenic mapping of the type 1 diabetes locus, idd3, to a 780-kb region of mouse chromosome 3 : identification of a candidate segment of ancestral DNA by haplotype mapping. *Genome Res*, 10(4) : 446-53, 2000
 - 10) Aitman TJ, Glazier AM, Wallace CA, et al. Identification of Cd36 (Fat) as an insulin-resistance gene causing defective fatty acid and glucose metabolism in hypertensive rats. *Nat Genet*, 21(1) : 76-83, 1999
 - 11) Okawa A, Nakamura I, Goto S, et al. Mutation in Npps in a mouse model of ossification of the posterior longitudinal ligament of the spine. *Nat Genet*, 19(3) : 271-273, 1998

F. 研究発表

1. 論文発表

1. Nishihara H, Nakagawa Y, Ishikawa H, Ohba M, Shimizu K, Nakamura T. Matrix vesicle and Media vesicles as Nonclassical Pathways for the Secretion of m-Calpain from MC3T3-E1 Cells. *Biochem Biophys Res Comm*, 285 : 845-853, 2001
2. Nishiguchi S, Kato H, Fujita H, Oka M,

- Kim H-M, Kokubo T, Nakamura T. Titanium metals from direct bonding to bone after alkale and heat treatments. *Biomaterials*, 22 : 2525-2533, 2001
3. Shimizu M, Higuchi K, Kasai S, Tsuboyama T, Matsushita M, Mori M, Shimizu Y, Nakamura T, Hosokawa M. Chromosome 13 locus, Pbd2, regulates bone density in mice. *J Bone and Miner Res*, 16 : 1972-1982, 2001
 4. Ito H, Akiyama H, Iguchi H, Iyama K, Miyamoto M, Ohsawa K, Nakamura T. Molecular Cloning and Biological Activity of a Novel Lysyl Oxidase-related Gene Expressed in Catilage. *J Biol Chem*, 276 (26) : 24023-24029, 2001
 5. Miyazaki T, Kim H-M, Kokubo T, Ohtsuki C, Kato H, Nakamura T. Mechanism of bonelike apatite formation on bioactive tantalum metal in a simulated body fluid. *Biomaterials*, 23 : 827-832, 2002

2. 学会発表

1. 安田 義, 中村孝志 : フィブロネクチンフラグメントはヒト培養関節軟骨における MMP産生を亢進させる. 第45回日本リウマチ学会総会・学術集会. 平成13年5月14日—16日
2. 長谷隆夫, 中村孝志, 川口三郎 : 新生ラットにおける脊髄損傷の修復 : 神経結合再生と機能回復の相関. 第74回日本整形外科学会学術集会. 平成13年4月19日—22日
3. K. Yoshida, T. Kobayashi, T. Tsuboyama, M. Matsushita, T. Nakamura, S. Narumiya. PGE2 Stimulates bone formation via EP4 subtype of prostaglandin E receptor. 23rd annual meeting of the American society for bone and mineral research, Phoenix, Arizona, U.S.A., October 12-16, 2001
4. 清水基行, 坪山直生, 松下 瞳, 笠井宗一郎, 松村拓郎, 奥平修三, 樋口京一, 細川昌則, 中村孝志: SAMを用いた骨量制御遺伝子座の解析. 第19回骨・カルシウム代謝研究会. 平成13年9月21日

5. 笠井宗一郎, 清水基行, 松下 瞳, 松村拓郎, 坪山直生, 細川昌則, 中村孝志: Peak Bone Mass を規定する遺伝子 QTL を持つ Congenic Mice の全身骨密度. 第16回日本整形外科学会基礎学術集会. 平成13年10月18日—19日
6. 戸口田淳也, 長山 聰, 中村祐輔, 中山富貴, 坪山直生, 中村孝志: 脊柱部腫瘍とゲノム解析. 第16回日本整形外科学会基礎学術集会. 平成13年10月18日—19日
7. 中村孝志: バイオマテリアル研究と人工股関節の性能向上. 第28回日本股関節学会学術集会. 平成13年11月9日